

# Wolnozmienne zegary biologiczne wykorzystujące pola torsyjne

Diana Wojtkowiak<sup>1</sup>, Bernardeta Głębińska, Kazimierz Raduszkiewicz<sup>2</sup>, Mirosława Skórkowska, Andrzej Frydrychowski<sup>1</sup>

POLSKA

1) Zakład Fizjologii Człowieka, Wydział Nauk o Zdrowiu z Oddziałem Pielęgniarstwa i Instytutem Medycyny Morskiej i Tropikalnej, Gdański Uniwersytet Medyczny, ul. Tuwima 15, 80-210 Gdańsk, Polska; 2) Polimor Sp. zo.o. Gdańsk.

Diana Wojtkowiak [diana@torsionfield.eu](mailto:diana@torsionfield.eu)

W pracy przedstawiono wyniki badań eksperymentalnych pokazujących związek pól torsyjnych docierających do nas ze Słońca z cyklicznymi zmianami fizjologicznymi człowieka opisanymi przez lekarzy na początku dwudziestego wieku pod określeniem biorytmów, charakterystykę tych pól z użyciem spektroskopii pól torsyjnych, a niosących informację pierwiastków chemicznych: jodu, rtęci i uranu, powiązanie z astrologicznymi znakami zodiaku, nową metodę wglądu we wnętrze Słońca, obecność pola torsyjnego pochodzącego od wspomnianych pierwiastków w ciele człowieka, jak również promieniowanego przez żarówki halogenowe i lampy rtęciowe, oraz możliwości jego minimalizowania.

## Punkt wyjścia

Wprawny obserwator jest w stanie zauważyć, obserwując samego siebie, że kiedy Słońce jest w znaku Panny możliwości myślenia analitycznego są wyjątkowo wysokie, że w znaku Skorpiona agresywność jest podwyższona, że w znaku Lwa i Wagi apetyt jest obniżony itp. Więcej, zauważy że coś tu się odrobinę nie zgadza, bo okres myślenia analitycznego opóźnia się i przeciąga się o jeden dzień dłużej i pozostałe wymienione okresy również. Stąd mogą się pojawić wątpliwości, czy na pewno chodzi tu o znak zodiaku, a wobec tego może pojawić się też zniechęcenie to tego typu analiz, aktualnego wpływu oddziaływań astrologicznych ciał niebieskich. Te aktualne wpływy należy odróżnić od najbardziej znanej astrologii urodzeniowej, która opiera się na raz wydrukowanej na całe życie informacji. Żeby zbadać informację pola torsyjnego przychodzącego od Słońca możemy wykorzystać akcelerator pola torsyjnego opisany w doniesieniu zjazdowym poprzedniej konferencji *Торсионные поля и информационные взаимодействия*.<sup>1</sup> Do badań wykorzystaliśmy akcelerator z ośmioma sekcjami elektrod o odstępach 2cm, w którym cząstki pola torsyjnego poruszają się ruchem helikalnym między elektrodami zasilanymi coraz większym napięciem, dostarczonym z 5 baterijek 9V. Osiem par elektrod zastosowano aby kąt widzenia na wlocie akceleratora był możliwie wąski i nie wchodziła informacja od występujących w sąsiedztwie na ekliptyce planet, szczególnie Merkurego. Dokładne nakierowanie na kierunek Słońca rozpoznawano po świetle przechodzącym przez puste wnętrze akceleratora. Za akceleratorem umieszczano fiolkę z 10ml wody i włączano akcelerator na 3s. Następnie w laboratorium badano zasięg promieniowania z fiolki z wodą metodą typu kinezyjologicznego, wykorzystując kolejno dwanaście metalicznych wzorców Kategorii (kolorów radiestezyjnych, znaków zodiaku) trzymany w dłoni, analogicznie jak to wcześniej opisano.[1] Spodziewano się zaobserwować obecność znaku zodiaku.

## Sierpień 2011

	1	2	3	4	5	6	7	8	9	10	11	12	13	14	15	16	17	18	19	20	21	22	23	24	25	26	27	28	29	30	31	
K1	180	90	100	90	90	340	320			90		110	100	100		100				280	300	250	500	300	500	510	110	100	110	130	150	
K2	180	100	90	90	90	100	90			520		270	360	100		100				150	110	100	280	280	110	100	500	570	530	250	110	
K3	180	100	100	90	90	100	90			400		500	550	530		110				230	300	150	300	200	310	320	130	130	120	450	410	30
K4	300	310	340	90	100	100	90			90		130	390	400		580				220	270	110	300	350	350	330	480	410	100	100	320	
K5	320	350	330	400	250	330	400			300		330	460	340		440				430	350	300	360	370	180	200	200	200	430	420	210	22
K6	210	100	100	110	90	380	500			100		110	140	300		420				130	120	100	120	360	520	520	520	550	500	530	530	365
K7	180	100	100	90	90	100	90			290		130	100	100		200				310	360	150	130	150	130	90	100	100	100	120	220	
K8	180	100	100	90	80	100	90			300		200	500	100		100				200	280	360	360	140	100	90	110	100	100	100	110	
K9	420	400	100	100	90	100	90			100		520	100	450		500				100	210	200	200	450	330	110	100	100	100	100	100	
K10	190	100	220	100	90	100	90			120		140	100	150		150				280	290	200	260	290	290	350	430	460	100	100	100	
K11	300	330	360	350	270	100	90			100		130	100	100		100				380	360	330	130	420	250	270	210	280	480	290	100	
K12	180	100	620	650	500	560	750			230		120	120	100		100				370	240	120	500	470	100	190	220	270	300	450	380	27

## Wrzesień 2011

	1	2	3	4	5	6	7	8	9	10	11	12	13	14	15	16	17	18	19	20	21	22	23	24	25	26	27	28	29	30		
K1	450	500	350	240		190	120	120	100		120	420	300	130	130	120	120			200	230	200	200	450	200	150	110	130	360	420	27	
K2	180	200	490	380		230	120	130	110		100	110	120	370	330	110	120			120	100	120	140	120	430	400	300	190	270	220		
K3	560	230	270	280		350	370	130	100		100	200	200	100	110	350	420			110	130	120	130	130	200	200	260	380	340	280		
K4	390	480	480	220		200	240	330	360		170	240	270	120	170	110	150			330	150	150	200	140	180	200	270	240	300	300	30,4	
K5	200	280	220	440		220	200	200	220		350	210	240	240	220	240	250				360	390	200	220	210	240	240	210	230	240	250	
K6	490	520	450	490		510	480	490	520		500	510	490	480	480	490	520			460	470	500	480	190	130	100	150	180	130	150		
K7	380	150	180	100		100	180	480	470		280	250	270	300	350	390	460			120	100	130	200	520	490	450	490	500	520	470	365	
K8	100	400	400	200		100	130	130	100		380	380	380	260	260	290	440			380	240	140	120	130	310	310	320	200	250	270		
K9	100	110	110	400		130	100	120	100		140	200	290	370	400	190	260			440	470	280	200	150	110	120	230	310	420	280		
K10	110	100	100	100		430	430	200	100		100	100	110	170	300	340	380			280	220	400	390	350	260	260	120	120	200	350	22	
K11	100	100	120	100		130	190	460	360		120	110	110	110	120	150	470			350	300	300	200	370	400	350	140	150	200	230		
K12	200	110	100	100		100	100	120	370		300	360	230	120	110	100	180			330	380	360	430	120	240	260	340	400	240	230		

Tabela 1 Cykle pola torsyjnego Słońca

### Co nam niesie słońko?

W tabeli 1 przedstawiono zestawienie pomiarów pola torsyjnego Słońca prowadzonych przez dwa miesiące. Obraz zmian promieniowania Słońca okazał się znacznie bardziej złożony niż można było się spodziewać. Oprócz znaku zodiaku, trzy cykle długości mniej więcej 22, 27 i 30 dni, które z dużym prawdopodobieństwem odpowiadają tak zwanym biorytmom wyznaczonym przez lekarzy, uczniów Zygmunta Freuda (Hermann Swoboda, Wilhelm Fliess) którzy obserwowali ok. 23 i 28 dniową cykliczność u swoich pacjentów dotyczącą: gorączkowania, stanów zapalnych, bólu, zdrowienia albo kryzysów, często kończących się śmiercią. Niestety równie szybko jak cykle te zostały odkryte, zostały sprowadzone na manowce, przez jednego z ich odkrywców, który chciał zrobić z nich coś w rodzaju numerologii, gdzie prosta matematyka posiada prymat nad materią. Przyporządkował arbitralnie trzem cyklom dokładną liczbę dni liczonych od urodzenia. Oczywiście jest, że każdy z tych cykli nie składa się z okrągłej liczby dni. W tabeli 1 kolorem czerwonym oznaczono przebieg związany ze znakami zodiaku, kolorem żółtym cykl 30-dniowy, kolorem niebieskim cykl 27 dniowy, kolorem zielonym cykl 22 dniowy, z prawej strony oznaczono liczbą dni. W pierwszej kolumnie podany jest numer Kategorii, w pierwszym wierszu dzień miesiąca.

### Cykl 30 dniowy - 1/12 znaku zodiaku

Kiedy spojrzymy na wykresie na cykl ok. 30 dniowy zauważymy, że jest ściśle zsynchronizowany ze znakami zodiaku. To dokładnie 1/12 czasu trwania cyklu znaków zodiaku a więc 30,44 dnia. Kiedy znak zodiaku jest w swej początkowej fazie to mały cykl

jest w Kategorii 1 (odpowiednik Barana), a kiedy znak zodiaku jest w ostatniej fazie, wówczas mały cykl jest w Kategorii 12 (odpowiednik Ryb). Mamy tu do czynienia z tzw. fraktalem planetarnym opisanym w książkach jednego z autorów niniejszej pracy. [2, 3] W książkach tych został on opisany na podstawie cykli rozwojowych człowieka i zwierząt oraz na podstawie rozkładu trwałych cech etnicznych na kuli ziemskiej. Jest to fraktal o wielu poziomach podobieństwa, odpowiadający w swej idei ezoterycznemu prawu oktaw [4]. Jednak w przeciwieństwie do prawa oktaw, z podziałem na siedem lub osiem części składowych, zachowanego w opisach literaturowych jedynie fragmentarycznie, tutaj występuje podział całości na dwanaście części i każdej części na dwanaście i schodząc jeszcze niżej na dwanaście, itd. W promieniowaniu Słońca przy bardziej dokładnych pomiarach możemy zaobserwować obecność trzeciego poziomu - 1/144 czasu trwania cyklu znaków zodiaku ok 2,54 dnia, gdzie zmiany fazy występują co kilka godzin.

W książce [2] opisano tzw. zegar rozwojowy, funkcjonujący w oparciu o model fraktala planetarnego zsynchronizowanego z rocznym obiegiem Ziemi wokół Słońca (faza cyklu jest przesunięta). Poszczególne fazy cyklu powiązane z aktywacją określonych systemów neuroprzekąźnictwa w mózgu. W zegarze rozwojowym człowieka obserwuje się cykle: 144 lata (zmiana fazy co 12 lat), 12 lat i 1 rok, a u gryzoni również 1/12 roku. Poniżej przedstawiono zestawienie zaczerpnięte z tej książki, oparte o reanalizę danych znajdujących się w publikacjach naukowych, zaktualizowane o histaminę. W zestawieniu podano również hasłowo, związane z poszczególnymi neuroprzekąźnikami funkcje i zaburzenia psychiczne.

**Noradrenalina** (występuje powiązanie noradrenaliny z adrenaliną) - Kategoria 1, Kategoria 8 - poszukiwanie nowości, aktywność, agresywność, poziom pobudzenia, zaangażowana w zmienione stany nastroju w manii i depresji.

**Acetylocholina** - Kategoria 2 - bierze udział w przetwarzaniu bodźców zmysłowych, wyszukiwanie bodźców istotnych lub związanych z nagrodą, zaangażowana w uczenie, pamięć i zmienione stany nastroju w manii i depresji.

**Kwas glutaminowy** (występuje powiązanie kwasu glutaminowego z glicyną i GABA - dla K3) - Kategoria 3, Kategoria 6 - wyższe funkcje umysłowe, podłoże uczenia i pamięci, schizofrenia, halucynacje, iluzje.

**Serotonina** - Kategoria 4 - odgrywa rolę w lęku, powiązanie z zachowaniami defensywnymi, apetyt na węglowodany, zespół zaburzeń pourazowych.

**Dopamina** - Kategoria 5 - powiązanie z systemem nagrody i motywacji, w tym z przewidywaniem nagrody, spadek apetytu, paranoja.

**Opioidy** (występuje powiązanie opioidów z acetylocholiną - dla K7) - Kategoria 7 - modulacja odczuwania bólu, apetyt na węglowodany i tłuszcze, depersonalizacja, dysocjacja, derealizacja.

**Kannabinoidy** - Kategoria 11 - efekt nagrody, wzrost apetytu, szczególnie do pokarmów słodkich, cechy paranoidalne.

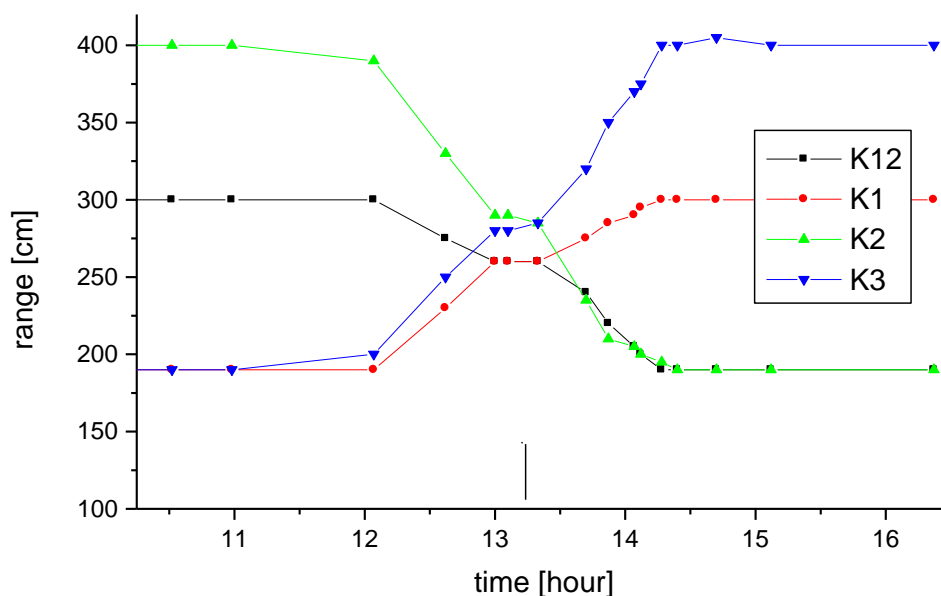
**Histamina** - Kategoria 12 - regulacja apetytu, regulacja termogenezy, uzależnienia od używek, działanie przeciwpadaczkowe, pobudzenie świadomości, zachowanie chorobowe.

To zestawienie ustalone na podstawie fraktala planetarnego zsynchronizowanego długością okresu dokładnie z obiegiem Ziemi wokół Słońca bez znajomości obecności takiego fraktala w promieniowaniu docierającym do nas ze Słońca, możemy przyjąć wstępnie jako tożsame z fraktalem planetarnym obserwowanym w naszych doświadczeniach pomiaru pola torsyjnego docierającego ze Słońca. Dodatkowo, występuje ścisła zbieżność cech znaków zodiaku opisywanych przez astrologów z Kategoriami reprezentowanymi w zegarze rozwojowym [2]. Wiedza ta może być wykorzystywana do konstrukcji nowej generacji leków homeopatycznych oddziałujących na systemy neuroprzekąźnictwa.

### Przesunięcie znaków zodiaku o 21h i charakter momentu przejścia

Teoretycznie należałoby się spodziewać, że zmiana znaków zodiaku w postaci pola torsyjnego docierającego ze Słońca będzie albo skokowa, albo w przybliżeniu liniowo intensywność sąsiednich znaków zodiaku będzie zmieniać się na całej długości średnicy Słońca, kiedy przechodzi ono przez granicę znaków zodiaku na ekliptyce. W tym celu wykonano badania zmian intensywności promieniowania poszczególnych Kategorii przez Słońce w okolicy przejścia z jednego do drugiego znaku zodiaku. Już wstępne badania pokazały, że przejście do kolejnego znaku zodiaku jest opóźnione o ok 21 h względem efemeryd astrologicznych, zarówno polskich [5] jak i amerykańskich [6]. Fakt przesunięcia wchodzenia w kolejny znak zodiaku ma ważne konotacje dla interpretacji astrologicznych, szczególnie że niektórzy autorzy efemeryd astrologicznych chwalą się, że wykonali obliczenia z dokładnością do sekundy, co może uspić czujność astrologów korzystających z takich efemeryd, mających zwykle świadomość ograniczonej precyzji stawianego horoskopu.

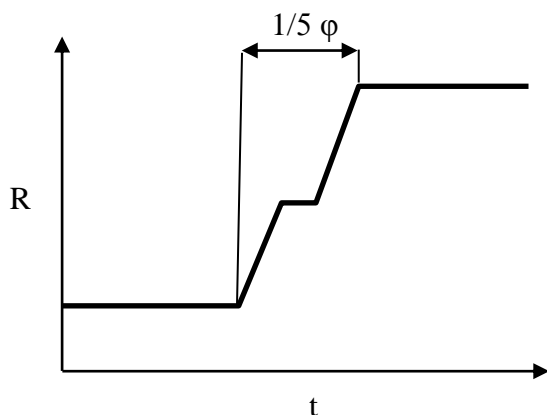
Drugim spostrzeżeniem był fakt, że aktywna astrologicznie jest jedynie wewnętrzna część Słońca - jądro. Średnica tarczy słonecznej widziana w lecie to 31 minut kątowych, czyli że Słońce przemieszcza się przez dany punkt ekliptyki 12,5 godziny. Obserwowane zmiany trwają mniej niż 2,5 godziny, tj. aktywna astrologicznie jest tylko 1/5 średnicy Słońca. W tym czasie następuje stopniowy spadek intensywności określonego znaku zodiaku (w przedstawionym niżej przypadku K2) i wzrost intensywności kolejnego(K3), przy jednoczesnym spadku intensywności Kategorii 12 mniejszego cyklu 1/12 roku i wzroście intensywności Kategorii 1 cyklu 1/12 roku. Na rys. 1 przedstawiono przechodzenie Słońca do kolejnego znaku zodiaku - ze znaku Byka do Bliźniąt, zmierzone 21.05.2016r.



Rys. 1. Pomiary zmian intensywności w czasie w promieniowaniu pola torsyjnego Słońca dnia 21.05.2016, dla czterech Kategorii które były bezpośrednio związane ze zmianą znaku.

K12 - ostatnia Kategoria małego cyklu, K1 - pierwsza Kategoria małego cyklu, K2 - schodzący znak zodiaku, K3 - wchodzący znak zodiaku.

O godzinie 13.15 widoczne jest małe plato trwające około 0,5h. Z kilku pomiarów, wykonanych na przestrzeni kilku lat, wyłania się wspólny charakter zmiany wchodzącego znaku zodiaku przedstawiony na rys. 2.



Rys. 2. Charakter zmian intensywności promieniowania z fiolki poddanej naświetlaniu akceleratorem, rozrysowany dla Kategorii odpowiadającej znakowi zodiaku, w który wchodzi Słońce. t - czas, R zasięg promieniowania z fiolki z wodą dla badanej Kategorii. Symbol  $1/5\varphi$  pokazuje czas, w ciągu którego Słońce przesunie się na ekliptyce o dystans odpowiadający  $1/5$  jego średnicy.

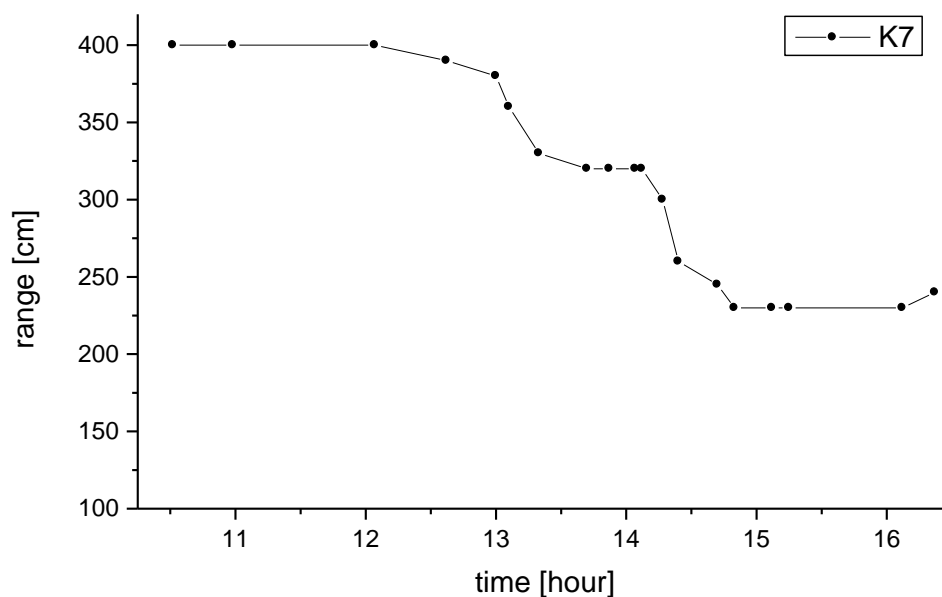
Te małe *plato* jest najciekawszym efektem ponieważ wskazywałoby na jeszcze mniejsze jądro o innych właściwościach we wnętrzu tego większego obejmującego  $1/5$  średnicy Słońca.

Środek plato dotyczący zmiany znaku zodiaku przypadał 21.05.2016 o godzinie 13.15. Dane odczytane z efemeryd [4] wskazują, że zmiana znaku zodiaku powinna mieć miejsce poprzedniego dnia o godzinie 14.34 czasu GMT czyli 16.34 czasu lokalnego. Oznacza to opóźnienie zmiany znaków zodiaku o 20 godzin i 41 minut.

### Cykl 27-dniowy

Dla cyklu 27dniowego (sposób określenia że przejście kategorii 7 powiązane jest z cyklem 27 dniowym opisane jest w dalszej części artykułu) zaobserwowaliśmy w trakcie tych samych pomiarów 21.05.2016 obecność analogicznego małego *plato* o czasie trwania około 0,5h dla Kategorii 7. Wystąpienie tego efektu nastąpiło nieco później, zbieżność tych dwóch

przejść Kategorii należy uznać za przypadkową.



Rys. 3. Pomiary zmian intensywności Kategorii 7 w czasie, w promieniowaniu pola torsyjnego Słońca dnia 21.05.2016, związanej w tych godzinach z cyklem 27 dniowym.

Ten sam charakter zmian sugeruje, że tak jak znaki zodiaku i cykl 30-dniowy są generowane przez fraktal planetarny Ziemi (geocentryczny układ znaków zodiaku na ekliptyce), tak i dwa pozostałe cykle są prawdopodobnie zewnętrznego pochodzenia od planet Układu Słonecznego, a nie generowane przez samo Słońce.

### Sposób w jaki pole torsyjne dociera ze Słońca

Badana laboratoryjnie szybkość rozchodzenia cząstek pola torsyjnego w powietrzu to kilkadziesiąt m/s [1], czyli bardzo mała. Z drugiej strony, kiedy rozdzielimy na pryzmacie wiązkę światła z lasera półprzewodnikowego lub żarówki halogenowej to otrzymujemy oddzielnie niewidoczną wiązkę pola torsyjnego i odchyloną o inny kąt wiązkę światła, przy czym obie te wiązki niosą cechy pola torsyjnego.

Wykonaliśmy następujące doświadczenie. Pierwsza próbka - akcelerator nakierowany na Słońce, informacja przenoszona na fiolkę z wodą, czyli tak jak standardowo zbieramy informację pochodzącą od Słońca. Druga próbka eksponowana była w ten sam sposób, ale przed akceleratorem umieściliśmy lustro, które odbije fotony światła, a przepuści pole torsyjne. Trzecia próbka eksponowana była przez umieszczoną przed akceleratorem szybką nachyloną pod kątem 45°, która na zasadzie całkowitego zewnętrznego odbicia odrzuci w bok cząstki pola torsyjnego przychodzące od strony Słońca, a przepuści fotony światła. Promieniowanie z pierwszej próbki wykazało typowe spektrum znaków zodiaku charakterystyczne dla Słońca z najsilniejszym sygnałem K11 pochodzącym od aktualnego znaku zodiaku w jakim znajdowało się Słońce. W drugiej próbce wszystkie Kategorie były osłabione ok. 10-krotnie, w trzeciej próbce całe spektrum niewiele różniło się od pierwszego, osłabione jedynie ok. 5%. Oznaczałoby to, że cząstki pola torsyjnego podróżują ze Słońca przez próżnię kosmiczną na fotonach światła. Z kolei badanie wpływu zachmurzenia na odbierany sygnał pola torsyjnego wykazały, że 10-krotne zmniejszenie natężenia oświetlenia z 60 000 lux na 6 000 lux skutkowało obniżeniem zasięgu promieniowania z fiolki z wodą

jedynie o ok. 5%. Oznacza to, że w przenoszeniu cząstek pola torsyjnego główny udział mają fotony w zakresie podczerwieni.

Być może nie jest to jedyna droga jaką informacja pola torsyjnego ze Słońca dociera do nas. Według astrologów nie przeszkadza w oddziaływaniu astrologicznym Słońca na człowieka. Należy wziąć pod uwagę istotę fraktala planetarnego tworzącego obszary znaków zodiaku na ekliptyce, jako prawdopodobnie czystego pola torsyjnego niezależnego od wędrujących w przestrzeni cząstek pola torsyjnego, które mogłyby wracać odbite od Słońca, ale tu można snuć jedynie hipotezy. Poza samym istnieniem fraktala planetarnego nie wiemy prawie nic o właściwościach tego pola.

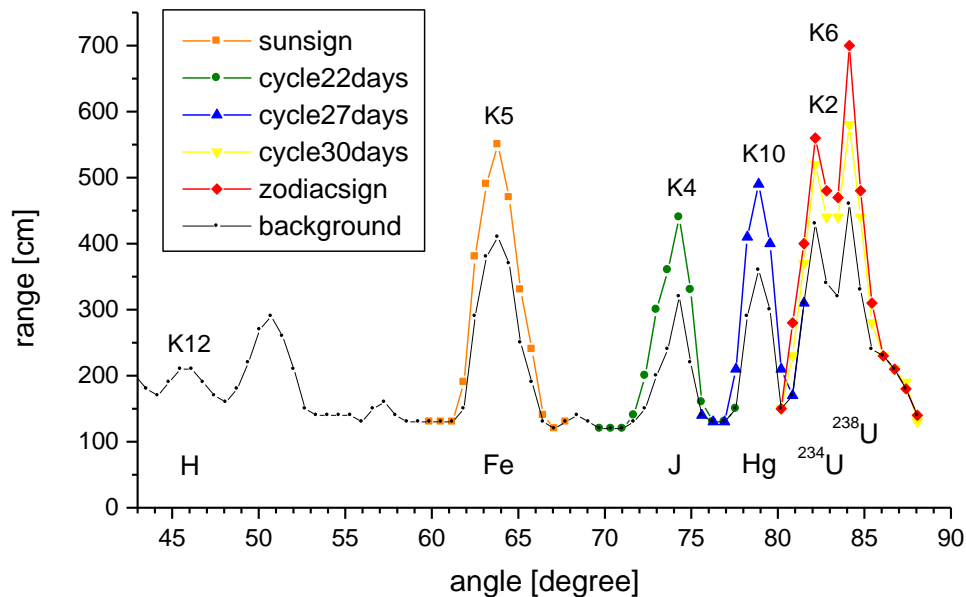
### **Spektroskopia**

Do dokładniejszego zbadania pola torsyjnego docierającego do nas ze Słońca zastosowaliśmy spektroskopię pola torsyjnego, w oparciu o skonstruowany przez nas spektroskop typu optycznego, a więc oparty na właściwościach optyki geometrycznej w zastosowaniu do pól torsyjnych. Idea budowy spektroskopu pochodzi od Thomasa Galena Hieronymusa [7], który dokonywał rozdziału pola torsyjnego pochodzącego od pierwiastków chemicznych na pryzmacie szklanym. Zamiast rozdziału na pryzmacie zastosowaliśmy jako płaszczyznę łamiącą płaską powierzchnię jednej z dwóch soczewek zastosowanych w układzie do wytwarzania równoległej wiązki metodą Fraunhofera i nachylanej pod zmiennym kątem. Biorąc pod uwagę przenikliwość pól torsyjnych, dużą długość fali około 2mm i ułamkowy współczynnik załamania dla szkła, opracowaliśmy specjalne kolimatory i zastosowaliśmy soczewki wklęsłe. Sygnał z fiolki z wodą promieniującą cząstki pola torsyjnego po przejściu przez układ rozszczepiania widma jest wzmacniany akceleratorem pola torsyjnego i przenoszony na fiolki z wodą tworzące kolejne frakcje rozdziału zarówno analitycznego, jak i preparatywnego, z których promieniowanie odczytywane jest metodą typu kinezylogicznego. Szeroki opis zarówno budowy spektroskopu, jak i jego możliwości badawczych znajduje się w publikacji, która jest w przygotowaniu do druku i w naszym zamierzeniu przeznaczona do opublikowania w czasopiśmie Журнал Формирующихся Направлений Науки.

Do zbadania spektrum pola torsyjnego docierającego ze Słońca pokazującego obecność pierwiastków chemicznych wykorzystano próbkę archiwalną z 27 sierpnia 2011 roku o jasno określonym odniesieniu do wcześniej scharakteryzowanych cykli. Wyniki przedstawiono na rys. 4. Spektrum podstawowe to najniższej położona krzywa, mierzone dla Kategorii, która nie jest wyróżniona w tabeli 1 w dniu 27 sierpnia. Wybrano Kategorię 12. Biorąc pod uwagę, że w preparatach homeopatycznych głównemu sygnałowi reprezentowanemu przez określoną Kategorię, towarzyszą pozostałe Kategorie o mniejszej intensywności, ale też niosące tę informację częstotliwościową, wykonując wykres spektrum dla jednej Kategorii, nie gubi się zupełnie informacji związanej z innymi Kategoriami, a jedynie zmieniają się intensywności poszczególnych pików sygnału. Przynależność poszczególnych pików do określonych pierwiastków wyznaczono dwoma metodami, na podstawie położenia pików na spektrum (kąt odchylenia wiązki) względem wcześniej wyznaczonych położenia wzorców preparatów homeopatycznych pierwiastków oraz metodą rezonansową. Metoda rezonansowa polega na postawieniu obok fiolki z preparatem uzyskanym jako frakcja ze spektroskopii próbki co najmniej 10g pierwiastka. Wzrost zasięgu promieniowania o 15%-50% świadczy o obecności w uzyskanym preparacie informacji danego pierwiastka. Wzrost o 5% jest niespecyficzny związany z masą dodatkowej substancji. Rezonans ten jest charakterystyczny dla ilości protonów w jądrze pierwiastka. Interesujące nas najsilniejsze piki pochodzą po kolei od żelaza (Fe), jodu (J), rtęci (Hg) i dwóch izotopów uranu  $^{234}\text{U}$  i  $^{238}\text{U}$ . Uranu nie sprawdzaliśmy metodą rezonansową ponieważ promieniowanie radioaktywne pierwiastków promieniotwórczych stymuluje niespecyficznie mierzony zasięg



promieniowania preparatów homeopatycznych. Uzyskane piki nie muszą być proporcjonalne do ilości pierwiastków w obiekcie źródłowym, ponieważ pole torsyjne emitowane przez pierwiastki ulegające rozpadom promieniotwórczym może być kilka rzędów wielkości bardziej intensywne od pochodzącego od pierwiastków trwałych. Nie ma też pewności że poszczególne piki pola torsyjnego widoczne na spektrum pochodzą z samego Słońca. Istnieje teoretyczna możliwość, że mogą być retransmitowane od planet po ich fraktalach planetarnych.



Rys. 4. Spektrum pól torsyjnych dochodzących ze Słońca, wykonane spektroskopem pól torsyjnych z archiwalnej próbki z 27 sierpnia 2011 r. Oś odciętych - kąt wiązki padającej względem płaszczyzny łamiącej mierzony w stopniach, oś rzędnych - zasięg promieniowania z próbek na wyjściu spektroskopu mierzony w centymetrach.

Kolejnym krokiem jest ustalenie, z jakimi pierwiastkami są powiązane poszczególne cykle. Kiedy spektrum będziemy określać dla Kategorii w której aktualnie znajduje się dany cykl, pik pierwiastka z którym cykl jest związany będzie miał wyższą intensywność. Przeprowadzono wyznaczenie spektrum dla pięciu Kategorii, które w dniu 27.08 2011r posiadały wysoką intensywność. Korzystając z danych z poprzednich doświadczeń, w doświadczeniu tym wykonano jedynie pomiary potwierdzające w obszarze pików, które już we wcześniejszych doświadczeniach były przez nas skojarzone z określonymi cyklami. Przebiegi dla tych Kategorii widzimy na wykresie powyżej pików przebiegu podstawowego, oznaczone kolorami takimi jak w tabeli 1 i wyróżnione figurami geometrycznymi. Wynik jest następujący. Nie zmieniającemu się w czasie sygnałowi charakterystycznemu dla Słońca (K5) odpowiada żelazo, Cyklowi 22 dniowemu - jod, cyklowi 27 dniowemu - rtęć, cyklowi 30-dniowemu i znakowi zodiaku - uran. Uran występuje tutaj w postaci izotopu 234 (obecny w naturalnym uranie w ilości jedynie 0,005%, znacznie mniejszej od uranu 235, ale wykazujący znaczące promieniowanie  $\alpha$ ) oraz izotopu 238. Obydwa izotopy są reprezentowane przez tę samą Kategorię.



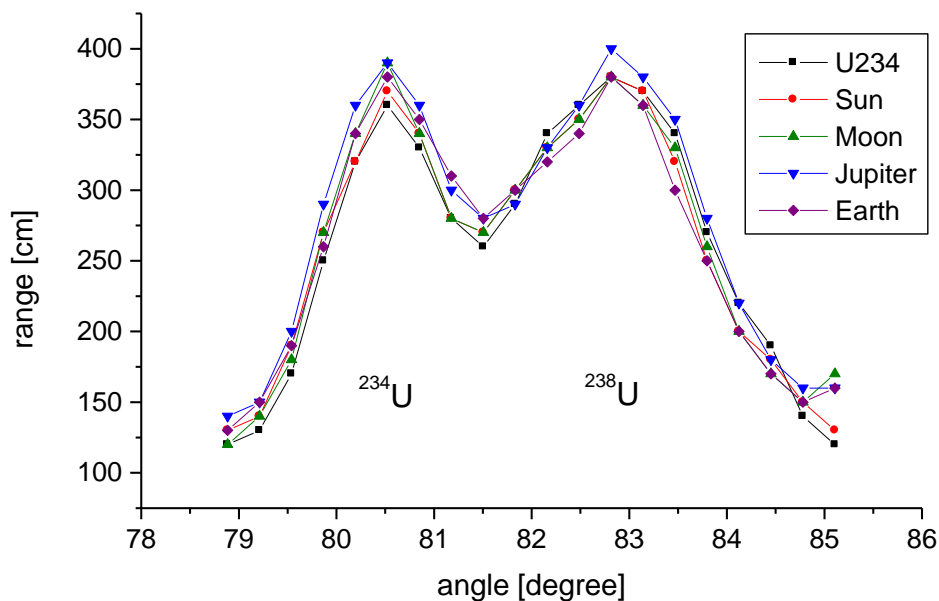
Teraz, kiedy mamy ustalony związek między cyklami i pierwiastkami je reprezentującymi, nie ma dłużej potrzeby rozrysowywania dzień po dniu rozkładów Kategorii aby nie zgubić, który sygnał należy do którego cyklu. Możemy w dowolnym momencie za pomocą spektroskopu wydzielić frakcje dla jodu (fr. 74°) i rtęci (fr 79°) i sprawdzić w nich które Kategorie są najsilniejsze. W ten sposób ustaliliśmy dla próbki z dnia 21.05.2016 uzyskanej o godzinie 8.06, że Kategorii K7 odpowiada cykl 27-dniowy, a Kategorii K8 cykl 22 dniowy. Przedstawione to zostało w tabeli 2.

Tab. 2. Przejście Byk-Bliźnięta dla próbek z 21.05.2016.

Kategoria	h8.06	h16.22	h8.06 J fr74	h8.06 Hg fr79
	zasięg [cm]	zasięg [cm]	zasięg [cm]	zasięg [cm]
K1	190	300	170	170
K2	400	190	170	180
K3	190	400	170	170
K4	200	190	180	170
K5	370	370	170	170
K6	210	210	180	180
K7	400	240	250	360
K8	280	350	300	180
K9	220	190	170	180
K10	190	190	190	180
K11	190	200	180	170
K12	300	190	170	170

Wracając do tabeli 1, w której cykl 27 dniowy wykazuje pewne odchylenia od prostoliniowości, sprawdziliśmy tę metodą co kilka dni najsilniejsze Kategorie dla frakcji 74 i 79 (zaznaczone w tabeli 1 ciemniejszym kolorem). Uzyskane wyniki pokazują, że cykl 27-dniowy nie jest zupełnie czysty, że składa się z dwóch cykli rtęci, o podobnym okresie, nałożonych na siebie.

Badając pole torsyjne pochodzące od różnych ciał niebieskich: Słońca, Księżyca i Jowisza, z użyciem wzorców odpowiadających Kategorii aktualnego znaku zodiaku, we wszystkich tych przypadkach najsilniejszym sygnałem był rozdwojony szczyt dwóch izotopów uranu, o tej samej proporcji składników. Taki sam sygnał uranu uzyskaliśmy, gdy na szczelinę pierwszego kolimatora skierowaliśmy, za pomocą zwierciadła wklęsłego, wiązkę pola torsyjnego wychodzącą pionowo z Ziemi, a także, gdy wodę napromieniowaliśmy, przez 1 godzinę, polem torsyjnym emitowanym z octanu uranylu, bez wzmacniania akceleratorem. Porównanie wykresów znajduje się na rys. 5. Próbkę badaną spektroskopem były wcześniej kopiowane stosując taki czas, aby wszystkie miały ten sam zasięg promieniowania, pierwotnie jednak, nie różniły się między sobą więcej niż dwa razy.



Rys. 5. Porównanie sygnału uranu w polu torsyjnym docierającym: z promieniowania octanu uranylu (K8) - U234; ze Słońca (6.09.2012, K6) - Sun; z Księżycy (6.09.2011, K10) - Moon; z Jowisza (1.10.2011, K2) - Jupiter; z głębi Ziemi (15.06.2016, K6) Earth. Oś odciętych - kąt wiązki względem płaszczyzny łamiącej mierzony w stopniach, oś rzędnych - zasięg promieniowania z próbek na wyjściu spektroskopu mierzony w centymetrach.

Można powiedzieć, że uran jest wszędzieobecny. Ale być może w przypadku Słońca, Księżycy i Jowisza jest to informacja, która dotarła z Ziemi, jako że rozpatrujemy tu znaki zodiaku, które są z natury swojej geocentryczne. W tym przypadku informacja kryjąca się pod cyklem 30-dniowym i znakami zodiaku przychodzącymi od Słońca byłyby pochodzenia ziemskiego, natomiast informacja 27-dniowa i 22 dniowa transferowana byłaby od innych planet. Charakterystyczne jest, że pod tymi dwoma cyklami przedstawionymi w tabeli 1, reprezentowany przez te same Kategorie znajduje się też uran, ale w kilkakrotnie mniejszej intensywności niż w cyklu 30-dniowym. Wykazaliśmy to badając rozkład Kategorii dla piku uranu ze spektroskopii z dnia 27.08.2011. Analogiczne zjawisko synchronizacji Kategorii dla sygnałów różnych pierwiastków uzyskaliśmy w pełnym spektrum uzyskanym z głębi Ziemi, gdzie wszystkie piki pierwiastków mają taki sam rozkład Kategorii. W tabeli 3 pokazano rozkład intensywności Kategorii dla wybranych kilku pierwiastków.

Tabela 3 Efekt synchronizacji Kategorii na określonym obszarze Ziemi (15.06.2016)

Kategoria	Ziemia frakcja 52,5 Si	Ziemia frakcja 63,5 NiFe	Ziemia frakcja 78 Bi	Ziemia frakcja 80,5 <sup>234</sup> U	obszar występowania Kategorii
	zasięg [cm]	zasięg [cm]	zasięg [cm]	zasięg [cm]	
K1	160	160	150	150	
K2	160	160	150	150	
K3	160	170	160	160	
K4	150	150	150	150	
K5	350	340	340	360	Europa środkowa - 1/12 długości równoleżników
K6	350	350	350	360	Europa środkowa - 1/12 długości południków
K7	250	250	250	260	Województwo Pomorskie w Polsce - 1/144 długości równoleżników
K8	250	250	250	260	Województwo Pomorskie w Polsce - 1/144 długości południków
K9	160	160	160	150	
K10	170	180	180	170	
K11	150	170	160	160	
K12	160	180	170	160	

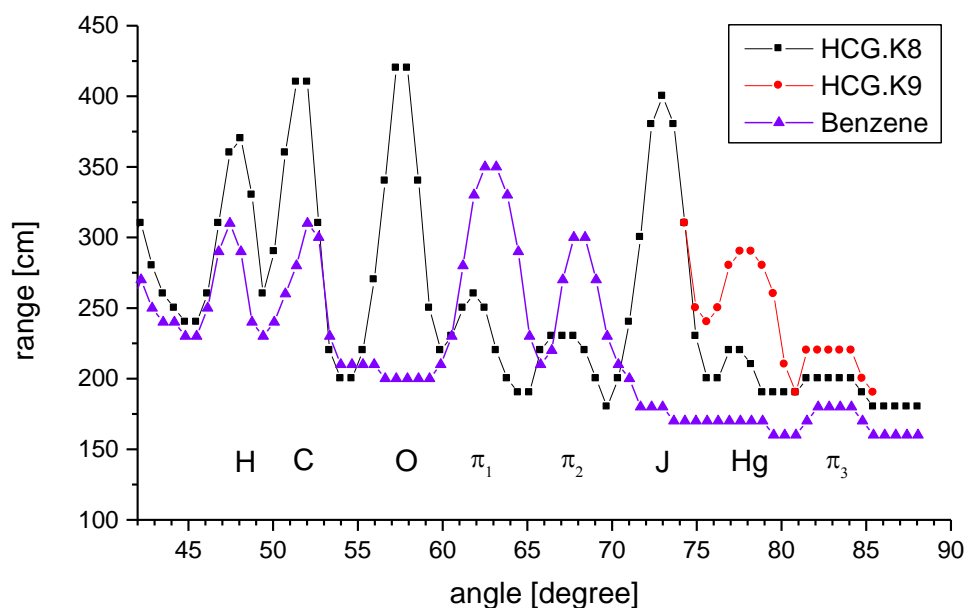
Wyróżnione w tabeli zwiększoną intensywnością tła Kategorie nie są przypadkowe. Reprezentują one pewien obszar na kuli ziemskiej, opisany w tabeli 3. Najsilniejsze i nieco słabsze Kategorie są w pełni zgodne z mapkami rozkładu Kategorii na kuli ziemskiej zawartymi w książce jednego z autorów artykułu [3], w której systematyczny rozkład Kategorii na Ziemi został ustalony jedynie na podstawie szerokiego przeglądu danych etnicznych. Taki rozkład Kategorii, jak wcześniej przewidziano, powinien występować na obszarze Województwa Pomorskiego, na którego terenie znajduje się nasze laboratorium. Jest to piękne potwierdzenie związku pól torsyjnych występujących na danym obszarze z psychiką ludzi, niezależne od zależności które ustalono w astrologii. Również jest to potwierdzenie prawidłowości nowego podejścia do istoty cech narodowych, zaproponowanego w niniejszej książce. W ten sposób tradycyjne pojęcia „Naród” i „patriotyzm” nabierają konkretnego wymiaru, a prowadzone współcześnie na temat tych dwóch pojęć filozoficzne spory i próba uzasadnienia sensu eksperymentowania z tzw. tygłem etnicznym, z którego miałyby powstać nowe - lepsze społeczeństwo, stają się bezowocne.

### Rtęć i jod w HCG

Obecność jodu w tak zwanym cyklu fizycznym natychmiast kojarzy się z jodem zawartym w tarczycy i intensywnością podstawowej przemiany materii regulowanej przez hormony tarczycy, na przykład przez tyrodynę. A więc ogólnie z regulacją energetyki organizmu. Nazwa nadana cyklowi jest więc adekwatna do powiązań biochemicznych.

Zajmując się zagadnieniem wykorzystania preparatów homeopatycznych uzyskanych z pola torsyjnego zawierającego informację o znakach zodiaku, do regulacji systemów neuroprzekaznictwa, w tym do regulacji (zmniejszenia) apetytu, badaliśmy też znajdująca się w tym temacie informację z gonadotropiny kosmówkowej (HCG - human chorionic gonadotropin), mającą, jak się podaje, efekt powodujący, że mimo niedożywienia organizmu

nie odczuwa się zmęczenia. Efekt ten wiązany jest zarówno z postacią substancji chemicznej jak i preparatu homeopatycznego. Poniżej (rys. 6) zamieszczone jest widmo spektroskopii pola torsyjnego przeniesione na wodę z dwóch ampulek preparatu medycznego Pregnyl, razem zawierającego 6mg HCG plus ok 200mg pochodnych cukrowych konserwujących preparat. Preparat był uzyskany z moczu kobiet ciężarnych, więc jest preparatem jak najbardziej naturalnym. Istotnym było sprawdzenie czy wykonanie nalewki pierwotnej za pomocą specjalnego małego akceleratora pól torsyjnych da preparat o widocznym, spod przeważających ilościowo cukrów, sygnale HCG.



Rys. 6. Spektrum preparatu Pregnyl 5000 j.m., Kopia z dwóch ampulek firmy N.V. Organon, LOT 176282. Cały wykres Pregnylu był uzyskany dla najsilniejszej dla tego preparatu Kategorii K8. Obszar piku rtęci był dodatkowo wyznaczony dla Kategorii K9 dla uwidocznienia obecności tego pierwiastka. Pokazane zostało również spektrum benzenu, jako porównawcze do ustalenia obecności pierścieni aromatycznych. Oś odciętych - kąt wiązki względem płaszczyzny łamiącej mierzony w stopniach, oś rzędnych - zasięg promieniowania z próbek na wyjściu spektroskopu mierzony w centymetrach.

Na krzywej spektrum widoczne pierwsze trzy pierwsze piki to atomy wodoru, węgla i tlenu, głównie pochodzące od będących w przewadze ilościowej cukrów. Piki  $\pi_1$ ,  $\pi_2$ ,  $\pi_3$ , pochodzą od pierścieni aminokwasów aromatycznych. W stosunku do pól torsyjnych jest to szczególnie ugrupowanie, jako że cząstki pola torsyjnego mogą krążyć po pierścieniach zawierających elektrony  $\pi$ , podobnie jak elektrony. Dla porównania, że chodzi w tym przypadku o pierścienie aromatyczne zamieszczono wykres benzenu, na którym widoczne są takie same piki. Na podstawie pików pierścieni aromatycznych możemy stwierdzić, że sygnał HCG został przeniesiony na wodę i możemy się spodziewać, że preparat będzie aktywny biologicznie.

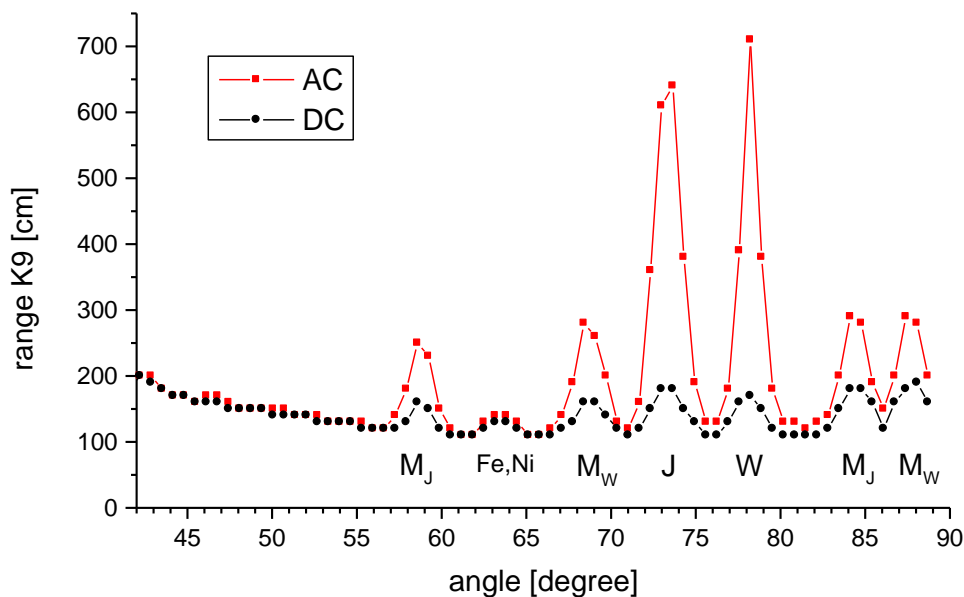
Pozostała jeszcze niespodzianka. Dwa ostatnie piki przynależą do jodu i rtęci, a więc do cykli słonecznych. Do związanego z energetyką organizmu cyklem 22 dniowym i do 27 dniowego cyklu miesięczkowego kobiet. Tak przynajmniej sugerują wyniki. Nie jest tak, że się zupełnie niespodziewaliśmy takiego wyniku, trochę na pierwiastki z cykli

słonecznych oczekiwaliśmy. Nie mamy badania dla preparatu HCG innego producenta, ale wykonaliśmy analogiczne spektrum dla preparatu tej firmy z innej serii LOT 144701, pierwszy kupiony w Polsce, drugi w Niemczech. Spektrum wykazało analogiczny wynik, jakkolwiek jodu i rtęci było około dwukrotnie mniej. Wynik jest o tyle ciekawy, że hormon HCG wytwarzany w łożysku składa się z dwóch łańcuchów, jeden jest unikalny a drugi wspólny razem z hormonami przysadkowymi: LH, FSH, TSH. Jeżeli jod i rtęć wiążą się z częścią wspólną tych przysadkowych, to cały system związany z przysadką będzie regulowany przez cykle słoneczne. Należy się spodziewać, że znaleziony jod i rtęć to pierwiastki promieniotwórcze obecne w bardzo małej ilości, ale wystarczającej, żeby na bieżąco wytwarzać we wspomnianym hormonie preparat homeopatyczny, który będzie filtrem informacji dochodzącej z zewnątrz. Z naszych doświadczeń wynika, że substancje wykazujące własności promieniotwórcze w trakcie przechowywania stają się preparatem homeopatycznym, przenoszącym informację o atomach ulegających rozpadowi. W ten sposób jeżeli spróbujemy wykonać preparat homeopatyczny z octanu uranylu z użyciem akceleratora pola torsyjnego (i należy się spodziewać, że również przez klasyczne potencjonowanie) i nie skasujemy, obniżeniem pola magnetycznego, informacji homeopatycznej przenoszonej przez ten związek chemiczny (mogący być takim samym nośnikiem informacji jak woda), to zamiast spodziewanego preparatu całej cząsteczki octanu uranylu opartej o uran 238, uzyskamy preparat zdominowany przez informację o ulegających intensywnym rozpadom atomach uranu 234. Przeprowadzone doświadczenie to oczywiście jedynie pierwszy zwiastun poznania odbiorników cykli słonecznych, ale wskazujący na prawdopodobnie bardzo owocny kierunek badań.

### **Lampy rtęciowe i halogenowe zakłócające zegary biologiczne**

Powszechnie stosowane lampy rtęciowe promieniują polem torsyjnym niosącym sygnał rtęci a halogenowe polem torsyjnym jodu, a więc informacją wykorzystywaną przez organizm ludzki do regulacji cykli biologicznych. Intensywność sygnału od tych lamp jest porównywalna z tym który dociera ze Słońca. Możemy więc się spodziewać że nasze zegary biologiczne będą zaburzone i to nie w sposób będący jakimś prawdopodobieństwem, ale w sposób ilościowy, niejako poprzez wymiareczkowanie sygnału naturalnego sygnałem zakłócającym.

Żarówka halogenowa promieniuje polem torsyjnym pochodzącym od jodu i wolframu, przy czym obecność prądu zmiennego wprowadza dodatkowe sygnały jodu i wolframu zmodulowane częstotliwością sieciową. Na rysunku 7 są one położone przed właściwymi sygnałami jodu i wolframu. Zastosowanie zasilania prądem stałym w miejsce zmiennego, spowodowało wielokrotne obniżenie poziomu promieniowania pola torsyjnego, co jest widoczne na wykresie. W badanym przez nas przypadku prąd stały posiadał pewne pulsacje, jako że skorzystano z prostego układu prostownika jaki można stosować dla zmniejszenia szkodliwego działania pola torsyjnego w indywidualnych lampach. Dla żarówki 42W zastosowano szeregowy kondensator poliestrowy 15 $\mu$ F obniżający napięcie dla uzyskania w efekcie końcowym właściwego napięcia skutecznego dla żarówki 230V, dalej mostek prostowniczy i kondensator elektrolityczny wygładzający 220 $\mu$ F.



Rys. 7. Spektrum żarówki halogenowej Livarnolux 42W, 230V, zasilanej prądem zmiennym (AC) i prądem stałym (DC). W obydwu przypadkach natężenie oświetlenia wynosiło 230lux. Kopiowanie sygnału z żarówki z odległości 30cm akceleratorem do badania promieniowania Słońca, stosując w obydwu przypadkach taki sam czas kopiowania.  $M_J$  - sygnał jodu modulowany częstotliwością 50Hz, Fe, Ni - sygnał żelaza i niklu,  $M_W$  - sygnał wolframu modulowany częstotliwością 50Hz, J - sygnał jodu, W - sygnał wolframu. Oś odciętych - kąt wiązki względem płaszczyzny łamiącej mierzony w stopniach, oś rzędnych - zasięg promieniowania z próbek na wyjściu spektroskopu mierzony w centymetrach.

Nie jesteśmy więc bezbronni wobec zdobyczy techniki, której chcielibyśmy używać, ale możemy stosować rozwiązania onizujące promieniowanie pól torsyjnych urządzeń technicznych, zgodnie z nowym pojęciem technologii niskopromieniującej [8]. W przypadku lamp rtęciowych promieniujących rtęcią i składnikami luminoforu (np tor), nie możemy zastosować prądu stałego ale możemy na przykład obniżać pierwotne pole torsyjne docierające do lampy. Ekranowanie pola torsyjnego po wyemitowaniu z lampy jest o tyle trudne że występuje ono zarówno w postaci wolnych cząstek pola torsyjnego jak i przenoszonych na fotonach. Tu warto też zwrócić uwagę na okrągłe metalowe odbłyśniki (reflektory) lamp, które mogą akumulować wirowe pole torsyjne. Po wymianie rtęciówki w takiej lampie na zwykłą żarówkę może się okazać, że lampa dalej intensywnie promieniuje rtęcią. Trzeba wypuścić na wolność krążące cząstki pola torsyjnego, np robiąc małe nacięcie w odbłyśniku.

## Literatura

1. Д. Войтковяк, Э. Малярчик, К. Радушкевич, М. Скурковска, М. Войтковяк, А. Фрыдриховски; Корпускулярно-волновые свойства торсионных полей - итоги собственных экспериментов; Торсионные поля и информационные взаимодействия – 2014: Материалы IV-й международной научно-практической конференции. Москва, 20-21 сентября 2014 г. с. 185-197. <http://www.second-physics.ru/node/30> (D. Wojtkowiak, E. Malarczyk, K. Raduszkiewicz, M. Skorkowska, M. Wojtkowiak, A. Frydrychowski; Corpuscular-wave properties of torsion fields - the results of our experiments; in conference

- book: Materials of IV international scientific-practical conference “Torsion Fields and Information Influences”, Moscow 20-21 September 2014, p. 185-197.)  
Wersja polska: [http://www.torsionfield.eu/?page\\_id=47](http://www.torsionfield.eu/?page_id=47)
2. Diana Wojtkowiak; Psychopatologia według kategorii uniwersalnych; Autorska Seria Naukowa DETERMINIZM Tom I, Gdańsk 2008; [http://www.torsionfield.eu/?page\\_id=25](http://www.torsionfield.eu/?page_id=25)
  3. Diana Wojtkowiak; Antropologia systematyczna; Autorska Seria Naukowa DETERMINIZM Tom II, Gdansk 2009; [http://www.torsionfield.eu/?page\\_id=20](http://www.torsionfield.eu/?page_id=20)
  4. Piotr Demianowicz Uspieński; Fragmenty nieznanego nauczania - w poszukiwaniu cudownego; Wydawnictwo Pusty Obłok, Warszawa 1991.
  5. Janusz Nawrocki; Efemerydy Planet 1950-2050; Studio Astropsychologii, Białystok 2001.
  6. Neil F. Michelsen; The American Ephemeris for the 20th Century 1900 to 2000 at Midnight; 1988.
  7. T. G. Hieronymus; Detection of emanations from materials and measurement of the volumes thereof; US Pat. 2482773, (1949).
  8. A. P. Павленко; Биобезопасная электроника: Шаг за горизонт официальной науки; издание 2, Lambert Academic Publishing 2015; [http://www.spinor.kiev.ua/userfiles/image/book/book\\_Pavlenko\\_v\\_07.pdf](http://www.spinor.kiev.ua/userfiles/image/book/book_Pavlenko_v_07.pdf)  
(A. R. Pavlenko; Biosafe electronics; step beyond horizon of formal science; second edition, Lambert Academic Publishing 2015)